

вдали от оси Д. может быть проанализировано методами упругости теории, к-рые заменяют Д. геом. линий. Д. характеризуется величиной и направлением  $\mathbf{b}$  и единичным вектором касательной  $\tau$  к её линии. Распределение пары векторов  $\mathbf{b}$ ,  $\tau$  позволяет описывать любое распределение Д. в кристалле.

Д. порождают вокруг себя упругие деформации и напряжения, поэтому являются источниками упругих полей в кристалле (см. Упругость). Упругие деформации вокруг Д. по своему распределению в кристалле напоминают магн. поле пост. тока, контур к-рого совпадает с линией Д., а сила к-рого пропорц.  $b$ . Напр., у винтовой Д., направленной по оси  $z$ , поля тензора деформаций

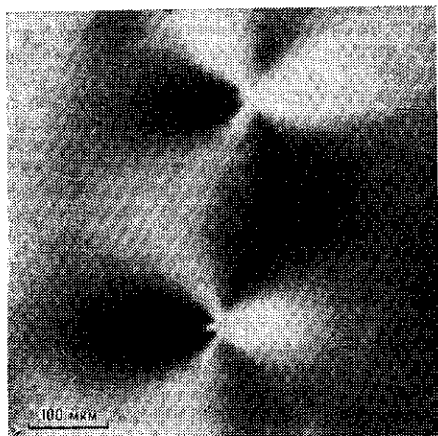


Рис. 3. Поля упругих напряжений вокруг краевых дислокаций в кристалле Si, выявленные по наблюдению фотоупругости; линии дислокации перпендикулярны плоскости рисунка.

$\epsilon_{ik}$  и тензора напряжений  $\sigma_{ik}$  имеют следующие отличные от нуля компоненты в цилиндрических координатах  $r$ ,  $\varphi$ :

$$\epsilon_{\varphi r} = b/4\pi r, \quad \sigma_{r\varphi} = Gb/2\pi r, \quad r^2 = x^2 + y^2.$$

Здесь  $G$  — модуль сдвига (см. Модули упругости).

Поле напряжений обуславливает собственную упругую энергию Д., пропорц.  $b^2$  и по порядку величины равную  $10^{-4}$  эрг на 1 см её длины. Поля напряжений вблизи отд. Д. в прозрачных кристаллах наблюдаются с помощью поляризов. света (рис. 3; см. Поляризационно-оптический метод исследования напряжений). Наличие упругих полей приводит к взаимодействию Д., похожему на взаимодействие контуров с пост. током. Это взаимодействие определяет равновесное распределение

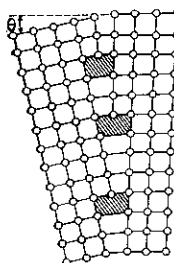


Рис. 4. Граница разориентированных блоков, образованная краевыми дислокациями.

Д. в дислокаци. скоплениях. Форма скопления Д. в плоскости скольжения характеризует свойства цезавершённой полосы сдвига. Устойчивое скопление прямолинейных краевых Д. в слое, перпендикулярном плоскости скольжения, наз. дислокационо-й стечкой и вызывает разориентацию кристаллич. блоков, т. е. моделирует границу блоков в кристалле (рис. 4).

Д. как источник упругого поля испытывает действие силы, обусловленной сдвиговыми напряжениями в кристалле и напоминающей силу действия магн. поля на проводник с током. Величина силы, приложенной к единице длины линии Д., равна  $f = b\sigma$ , где  $\sigma$  — соответствующая сдвиговая компонента тензора напряжений  $\sigma_{ik}$ . Напр., если краевая Д. параллельна оси  $z$  и ее

вектор  $\mathbf{b}$  направлен по оси  $z$ , то  $f_x = b\sigma_{xy}$ . Равновесная форма Д. определяется условием равенства силы  $f$  и сил неупругого происхождения, аналогичных силам трения.

**Дислокация и пластичность кристаллов.** Под действием сдвиговых напряжений Д. могут перемещаться в кристалле, вызывая его пластич. деформацию (рис. 5). Если в движение вовлечено большое число Д., то скорость пластич. деформации  $\dot{\epsilon}^{pl}$  прямо пропорц. плотности  $\rho$  движущихся Д. и их ср. скорости  $v$ :  $\dot{\epsilon}^{pl} = b\rho v$ , где  $b$  — вел.чина вектора Бюргерса отдельной Д.

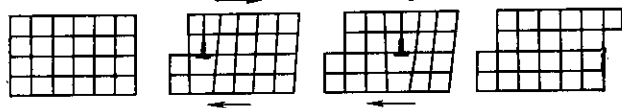


Рис. 5. Схема пластической деформации в результате скольжения дислокаций.

Т. о., Д. — носители пластичности монокристалла. Многие проявления пластичности кристаллов связаны с разл. видами движения отд. Д. или целых их рядов и скоплений.

Расположение атомов в ядре краевой Д. приводит к выводу, что её перемещение на 1 атомный шаг вдоль плоскости скольжения связано с малыми относит. перемещениями атомов в ядре Д. Поэтому скольжение Д. должно происходить при сравнительно малых внешнагрузках. Напряжения, при к-рых начинается скольжение Д., определяют микроскопич. предел упругости  $\sigma_S$  монокристалла; при достижении такой сдвиговой нагрузки кристалл теряет упругость, в нём начинается пластич. деформация. Величина  $\sigma_S$  оказывается в  $10^2$ — $10^4$  раз меньше модуля сдвига монокристалла  $G$ . При отсутствии Д. идеальный монокристалл не должен обладать пластичностью вплоть до напряжений 0,1  $G$ . Т. о., обусловленная скольжением Д. малая величина  $\sigma_S$  является физ. причиной того, что сдвиговая прочность реальных кристаллов с Д. на неск. порядков ниже таковой для бездислок. монокристаллов. Сдвиговая прочность, близкую к предельной, могут иметь лишь тончайшие нитевидные кристаллы, толщины к-рых измеряются мкм и к-рые часто образуются путём спирального роста вокруг одиночных винтовых Д.

Скольжение Д. не вызывает локального изменения объёма или плотности кристалла и поэтому наз. кон-

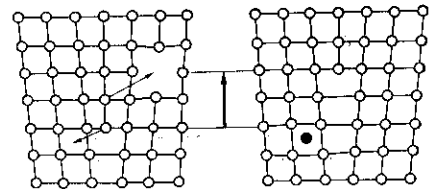


Рис. 6. Переползание красной дислокации, сопровождающееся изменением числа точечных дефектов в кристалле.

сервативным движением. Существует неконсервативное движение Д., или переползание, при к-ром краевая Д. смещается в направлении, перпендикулярном плоскости скольжения. Переползание связано с неупругим изменением плотности кристалла вдоль линии Д. и происходит путём «наращивания» или «расторвания» атомных рядов на краю «липней» атомной полуплоскости, что, в свою очередь, сопровождается образованием или исчезновением вакансий и межузельных атомов (рис. 6). Если переползание вызвано постоянным сдвиговым напряжением, то связанный с этим перенос материала осуществляется за счёт диффузии атомов или вакансий из кристалла к линиям Д., и направление диффузионных потоков задаётся тензором напряжений. Т. к. коэф. диффузии резко уменьшаются с понижением темп-ры, то переползание Д. с заметной скоростью происходит только при достаточно